Т. 64, № 7 ФИЗИКА 2021

КРАТКИЕ СООБЩЕНИЯ

УДК 669-175.2:539.89:548.4 DOI: 10.17223/00213411/64/7/178

А.Н. ТЮМЕНЦЕВ^{1,2}

О ПРЕДЕЛЬНЫХ МИНИМАЛЬНЫХ РАЗМЕРАХ НАНОЗЕРЕН И МЕХАНИЗМЕ $B2{ o}B19'{ o}B2$ -ПРЕВРАЩЕНИЯ ПРИ ФОРМИРОВАНИИ НАНОКРИСТАЛЛИЧЕСКИХ СТРУКТУР В НИКЕЛИДЕ ТИТАНА *

Ключевые слова: никелид титана, нанокристаллы, деформация кручением, обратимые мартенситные превращения.

В широком классе материалов при достижении некоторой критической степени деформации наступает стадия формирования нанокристаллических структур с предельными (минимальными) размерами зерен $(d_{\text{мин}})$, после которой дальнейшее уменьшение этих размеров невозможно. В условиях деформации кручением на наковальнях Бриджмена эти размеры меняются в пределах от нескольких сотен до нескольких нанометров [1, 2]. В чистых металлах с относительно невысокими значениями прочности и температуры плавления указанные выше размеры $d_{\text{мин}} \approx 50-200$ нм. В металлах и сплавах тугоплавких элементов, композициях металл-металлоид, сплавах с ограниченной растворимостью в твердом состоянии, полупроводниках и интерметаллидах минимальный размер зерен $d_{\text{мин}} \approx 10$ –20 нм. Согласно [1, 2], важным фактором способности материала к измельчению зеренной структуры является подвижность элементарных носителей деформации (дислокаций и точечных дефектов), контролирующая пути их пробега в полях напряжений, характерные масштабы переориентирующихся микрообъемов, а, следовательно, и размеры нанозерен. Эта подвижность в значительной степени зависит от прочности материала и гомологической температуры деформации, определяющих напряжения дислокационного сдвига и интенсивность диффузионных механизмов релаксации наноструктурных состояний [3, 4]. В настоящем сообщении представлены результаты исследования особенностей формирования таких состояний в условиях пластической деформации сплава на основе никелида титана с участием механизма обратимого $(B2\rightarrow B19'\rightarrow B2)$ мартенситного превращения [5–7].

Исследование проведено с использованием монокристалла сплава TiNi(Fe, Mo) (\approx 0.3% Fe и 0.3% Mo, ат. %), со структурой B2-фазы после закалки от T=1233 К в ледяную воду. Образцы для пластической деформации кручением имели форму дисков диаметром 8 мм и толщиной 0.3 мм с ориентацией оси сжатия, близкой к полюсу [001]. Деформацию осуществляли при комнатной температуре на наковальнях Бриджмена под давлением \approx 8 ГПа.

Эволюция микроструктуры в интервале значений истинной логарифмической деформации от $e \approx 0.15$ сжатием в направлении [001] примерно до 2–3 заключается в формировании двухфазных структурных состояний, содержащих двойники деформации B2-фазы в плоскостях с разными ({112}, {113}, {114}) индексами и пластины или нанозерна мартенсита B19', свидетельствующие о формировании этих состояний в процессе $B2 \rightarrow B19' \rightarrow B2$ -превращений [5–7]. При величинах $e \approx 2$ –3 фрагментация материала с участием таких превращений приводит к формированию двухфазной (B2 + B19')-нанокристаллической структуры с размерами нанозерен мартенсита примерно от 50 до 100 нм и B2-фазы $\approx (10–20)$ нм.

Увеличение степени деформации до $e \approx 3$ —4 приводит, во-первых, к полному обратному ($B19' \rightarrow B2$)-превращению мартенсита B19' в исходную B2-фазу, во-вторых, к значительному (примерно на порядок) уменьшению размеров нанозерен. Оценка этих размеров по полуширине кольца дифракционных максимумов от плоскостей типа $\{110\}$ B2-фазы ($1/d_{\{110\}} \approx 1/4$ –1/6 нм $^{-1}$) на формирующихся при этом электронограммах (рис. 1, a) дает величину расстояний между этими плоскостями $d_{\{110\}} \approx 4$ —6 нм. При значении $e \approx 5$ —6 указанная выше полуширина увеличивается до $1/d_{\{110\}} \approx (1-1/2)$ нм $^{-1}$ (рис. 1, δ) и свидетельствует о формировании нанозерен, которые в направлениях типа <110> имеют размеры ($d_{\{110\}} \approx 1$ –1.5 нм) в несколько межатомных расстояний.

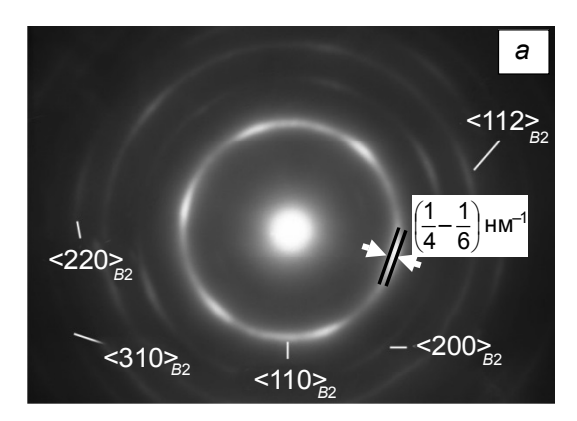
В соответствии с [1,2] достигнутая к настоящему времени в процессе деформации кручением под давлением степень измельчения зеренной структуры соответствует величине $d_{\text{мин}} \approx 10$ нм. В настоящей работе эта величина на порядок ниже. Это предельная (максимально возможная) степень наноструктурирования кристалла с формированием аморфно-кристаллической структуры, когда более половины атомов границ нанозерен и их тройных стыков находятся в аморфном состоянии.

Как следует из анализа приведенных выше результатов, механизмами формирования таких состояний являются $B2 \rightarrow B19' \rightarrow B2$ -превращения совместно с квазивязким механизмом переориентации потоками неравновесных точечных дефектов в полях высоких локальных градиентов напряжений [1, 3–5]. Подчеркнем в связи с этим следующие важные особенности этих механизмов. Во-первых, это ОЦК \rightarrow ГПУ \rightarrow ОЦК-

_

^{*} Работа выполнена в рамках госзадания ИФПМ СО РАН № FWRW-2021-0008.

превращения, единственной модой дисторсии которых является однородная деформация превращения типа деформации Бейна [6-8]. Дефекты субструктурного упрочнения, в том числе границы нанозерен, не являются для этой моды деформации сколько-нибудь эффективными препятствиями, а высокие локальные внутренние напряжения служат скорее стимулом ее реализации. Во-вторых, в условиях фазовой нестабильности в Ti-Ni-сплавах появляется возможность интенсивного разупрочнения материала.



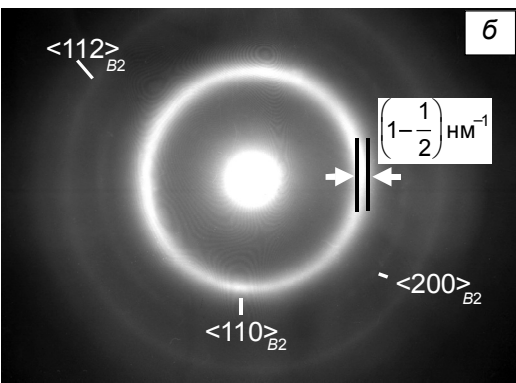


Рис. 1. Картины микродифракции сплава TiNi(Fe, Mo) в нанокристаллических структурных состояниях при размерах нанозерен $d \approx 4$ –6 нм (a) и 1–1.5 нм (б) после деформации $e \approx 3$ –4 (1/2 оборота наковальни) и 5-6 (3 оборота наковальни) соответственно

Таким образом, важнейшей чертой пластической деформации механизмами ОЦК->ГПУ->ОЦКпревращений является отсутствие для носителей этой моды деформации каких-либо эффективных препятствий, в том числе в нанокристаллических состояниях, формирующихся при сверхвысоких степенях деформации, при одновременной возможности интенсивной релаксации таких состояний. В этих условиях появляется возможность пластической деформации путем многократного повторения указанных выше превращений. Как видно, в никелиде титана это обеспечивает формирование указанных выше состояний с предельной (максимально возможной) степенью наноструктурирования микроструктуры с формированием нанозерен размерами ($d \approx 1-1.5$ нм) в несколько межатомных расстояний.

Немаловажными факторами формирования указанных выше аморфно-кристаллических состояний являются, во-первых, высокий уровень в этих состояниях деформирующих напряжений – источников высоких локальных градиентов наномасштабного уровня, определяющих характерные размеры микрообъемов, способных быть зародышами новых кристаллитов, и определяющих размеры нанозерен. Во-вторых, снижение в зонах $B2 \rightarrow B19' \rightarrow B2$ -превращений интенсивности диффузионных механизмов релаксации микроструктуры (например, диффузионного роста нанозерен) вследствие уменьшения в этих зонах запасенной энергии деформации при высокой плотности низкоэнергетических двойниковых границ специального типа.

Структурные исследования проведены с использованием оборудования ТМЦКП ТГУ.

СПИСОК ЛИТЕРАТУРЫ

- Тюменцев А.Н. Коротаев А.Д., Дитенберг И.А. и др. // Закономерности пластической деформации в высокопрочных и нанокристаллических металлических материалах. - Новосибирск: СО РАН: Наука: Изд-во СО РАН. - 2018. -256 c.
- Корзников А.В., Тюменцев А.Н., Дитенберг И.А. // ФММ. 2008. Т. 106. № 4. С. 433–438.
- Тюменцев А.Н., Дитенберг И.А., Суханов И.И. // Изв. вузов. Физика. 2019. Т. 62. № 8. С. 5-13. Суханов И.И., Дитенберг И.А., Тюменцев А.Н. // Изв. вузов. Физика. 2020. Т. 63. № 7. С. 95-101.
- Tyumentsev A.N., Surikova N.S., Litovchenko I.Yu., et al. // Acta. Mater. 2004. V. 52. P. 2067-6.
- Сурикова Н.С., Тюменцев А.Н., Евтушенко О.В. // Изв. вузов. Физика. 2009. Т. 52. № 6. С. 58–67.
- Сурикова Н.С., Тюменцев А.Н., Лысенко О.В. // ФММ. 2007. Т. 104. № 5.

Поступило в редакцию 31.05.2021.

¹ Национальный исследовательский Томский государственный университет, г. Томск, Россия

² Институт физики прочности и материаловедения СО РАН, г. Томск, Россия

Тюменцев Александр Николаевич, д.ф.-м.н., профессор, зав. лабораторией СФТИ ТГУ, гл. науч. сотр. ИФПМ СО РАН, e-mail: atyumentsev46@mail.ru.